

粘性流体湍流的基本运动

流体力学

 Note

教材有够啰嗦的

湍流模式

回忆雷诺平均运动方程

$$\frac{\partial \bar{v}_i}{\partial t} + \bar{v}_j \frac{\partial \bar{v}_i}{\partial x_j} = -\frac{1}{\rho} \frac{\partial \bar{p}}{\partial x_i} + \nu \frac{\partial^2 \bar{v}_i}{\partial x_j^2} + \frac{1}{\rho} \frac{\partial (-\rho \overline{v'_i v'_j})}{\partial x_j}$$

该方程比层流运动方程多了最后的雷诺应力梯度项，使得方程组不封闭而无法求解。

一阶封闭模式

考虑雷诺应力与平均速度梯度之间的关系：

$$\tau_t = -\overline{\rho u'v'} = \rho \varepsilon_m \frac{\partial U}{\partial y}$$

ε_m 为涡粘性系数，与运动粘性有相同量纲。对于三维流场，上式可推广为

$$-\overline{v'_i v'_j} = 2\varepsilon_m S_{ij} - \frac{2}{3}k\delta_{ij}$$

其中 $S_{ij} = \frac{1}{2} \left(\frac{\partial \bar{v}_i}{\partial x_j} + \frac{\partial \bar{v}_j}{\partial x_i} \right)$ ， δ_{ij} 为Kronecker符号。

但此时 ε_m 仍是一个未知变量，所以还需要建立 ε_m 与平均速度之间的经验关系

引入用混合长度表示的雷诺应力表示式

$$-\overline{\rho u'v'} = \rho l^2 \left| \frac{\partial U}{\partial y} \right| \frac{\partial U}{\partial y}$$

所以可得涡粘性系数

$$\varepsilon_m = l^2 \left| \frac{\partial U}{\partial y} \right|$$

此时未知量变为了混合长度 l 但是 l 对平均速度的依赖性较弱。下面只介绍两种模型

Klebanoff 模型

在边界层内层

$$l = \kappa y \quad \varepsilon_m = \kappa y v^*$$

其中 κ 为卡门常数, $v^* = \sqrt{\frac{\tau_w}{\rho}}$ 为壁摩擦速度

在外层

$$l = \alpha_1 \delta \quad \varepsilon_m = \alpha_2 \delta v^* \gamma$$

γ 为间隙因子, α_1, α_2 为实验常数

Karman

$$l = \frac{\kappa \left(\frac{\partial U}{\partial y} \right)}{\left(\frac{\partial^2 U}{\partial y^2} \right)}$$

一阶封闭模式的主要优点是使用方便, 但是只有当方程中个输运项很小时才能得到较好的结果, 适用于有适度压力梯度的二位边界层。

代数应力模式

将 N-S 方程化成 $\frac{D(v_i v_j)}{Dt}$ 形式, 将瞬时速度表示成平均速度, 可得雷诺应力 $\overline{v'_i v'_j}$ 方程

$$\begin{aligned} \frac{D\overline{v'_i v'_j}}{Dt} = & -\frac{\partial}{\partial x_k} \left(\delta_{jk} \frac{\overline{v'_i p'}}{\rho} + \delta_{ik} \frac{\overline{v'_j p'}}{\rho} + \overline{v'_i v'_j v'_k} - \nu \frac{\partial \overline{v'_i v'_j}}{\partial x_k} \right) \\ & - \left(\overline{v'_i v'_k} \frac{\partial \overline{v'_j}}{\partial x_k} + \overline{v'_j v'_k} \frac{\partial \overline{v'_i}}{\partial x_k} \right) - 2\nu \frac{\partial \overline{v'_i}}{\partial x_k} \frac{\partial \overline{v'_j}}{\partial x_k} \\ & + \frac{p'}{\rho} \left(\frac{\partial \overline{v'_i}}{\partial x_j} + \frac{\partial \overline{v'_j}}{\partial x_i} \right) \end{aligned} \quad (1)$$

δ 为克罗内克符号 给出上述式子中相应的物理意义

- 湍流扩散项: $\delta_{jk} \frac{\overline{v'_i p'}}{\rho} + \delta_{ik} \frac{\overline{v'_j p'}}{\rho} + \overline{v'_i v'_j v'_k}$
- 分子扩散项: $\nu \frac{\partial \overline{v'_i v'_j}}{\partial x_k}$
- 产生项: $\overline{v'_i v'_k} \frac{\partial \overline{v'_j}}{\partial x_k} + \overline{v'_j v'_k} \frac{\partial \overline{v'_i}}{\partial x_k}$
- 耗散项: $\frac{\partial \overline{v'_i}}{\partial x_k}$
- 压力变形项: $\frac{p'}{\rho} \left(\frac{\partial \overline{v'_i}}{\partial x_j} + \frac{\partial \overline{v'_j}}{\partial x_i} \right)$

考虑湍动能 $k = \frac{\overline{v_i'^2}}{2}$, 则取 $i = j$ 给出湍动能方程

$$\begin{aligned} \frac{Dk}{Dt} = & \underbrace{\frac{\partial k}{\partial t}}_{\text{(I)}} + \underbrace{\overline{v_i} \frac{\partial k}{\partial x_j}}_{\text{(II)}} = - \frac{\partial}{\partial x_j} \left(\underbrace{\frac{1}{\rho} \overline{v'_i p'}}_{\text{(III)}} + \underbrace{\frac{1}{2} \overline{v'_i v'_i v'_j} - 2\nu \overline{v'_i s'_{ij}}}_{\text{(IV)}} \right) \\ & - \underbrace{\overline{v'_i v'_j s_{ij}}}_{\text{(IV)}} - \underbrace{2\nu \overline{s'_{ij} s'_{ij}}}_{\text{(V)}} \end{aligned} \quad (2)$$

也可以简写成如下形式:

$$\frac{Dk}{Dt} = D_{if} + P_k - \varepsilon,$$

其中

$$\begin{aligned} D_{if} &= - \frac{\partial}{\partial x_j} \left(\frac{1}{\rho} \overline{v'_j p'} + \frac{1}{2} \overline{v'_i v'_i v'_j} - 2\nu \overline{v'_i s'_{ij}} \right), \\ P_k &= - \overline{v'_i v'_j s_{ij}}, \\ \varepsilon &= 2\nu \overline{s'_{ij} s'_{ij}}, \\ s'_{ij} &= \frac{1}{2} \left(\frac{\partial v'_i}{\partial x_j} + \frac{\partial v'_j}{\partial x_i} \right). \end{aligned}$$

- I 项时湍动能的当地变化率
- II 项说明当流体微团因平均迁移而发生位置变化时, 湍动能也发生变化, 所以称为对流项
- III 项称为扩散项, 表示脉动压力、雷诺压力和脉动粘性应力对脉动能量的输运
- IV 项为湍流能量生成项, 起增加湍流动能的作用
- V 项时流体脉动粘性应力为抵抗脉动变形所作的功, 对应于脉动的耗散项

但是在 (1), (2) 两式中仍存在较多未知项, 我们仍需建立对未知项的表达式, 这一过程称为湍流模式建立的过程。下面给出最终经模化后的雷诺应力方程和湍动能方程

$$\begin{aligned} \frac{D\overline{v'_i v'_j}}{Dt} = & \frac{\partial}{\partial x_l} \left[C_k \frac{k^2}{\varepsilon} \frac{\partial \overline{v'_i v'_j}}{\partial x_l} + \nu \frac{\partial \overline{v'_i v'_j}}{\partial x_l} \right] + P_{ij} - \frac{2}{3} \delta_{ij} \varepsilon \\ & - C_1 \frac{\varepsilon}{k} \left(\overline{v'_i v'_j} - \frac{2}{3} \delta_{ij} k \right) - C_2 \left(P_{ij} - \frac{2}{3} \delta_{ij} P_k \right), \end{aligned} \quad (3)$$

$$\begin{aligned} \frac{Dk}{Dt} = & \frac{\partial}{\partial x_l} \left[C_k \frac{k^2}{\varepsilon} \frac{\partial k}{\partial x_l} + \nu \frac{\partial k}{\partial x_l} \right] + P_k - \varepsilon, \\ P_{ij} = & - \left(\overline{v'_i v'_k} \frac{\partial \overline{v'_j}}{\partial x_k} + \overline{v'_j v'_k} \frac{\partial \overline{v'_i}}{\partial x_k} \right), \quad P_k = - \overline{v'_i v'_l} \frac{\partial \overline{v'_i}}{\partial x_l}, \end{aligned} \quad (4)$$

常用经验常数 $C_k = 0.09 \sim 0.11$, $C_1 = 1.5 \sim 2.2$, $C_2 = 0.4 \sim 0.5$, ε 仍是未知项, 满足方程

$$\frac{D\varepsilon}{Dt} = \frac{\partial}{\partial x_l} \left[C_\epsilon k^2 \frac{\partial \varepsilon}{\partial x_l} + \nu \frac{\partial \varepsilon}{\partial x_l} \right] - C_{\epsilon 1} \frac{\varepsilon}{k} \overline{v'_i v'_l} \frac{\partial v_i}{\partial x_l} - C_{\epsilon 2} \frac{\varepsilon^2}{k}, \quad (5)$$

常用经验常数 $C_\varepsilon = 0.09 \sim 0.11$, $C_{\varepsilon_1} = 1.5 \sim 2.2$, $C_{\varepsilon_2} = 0.4 \sim 0.5$

将 (3), (5) 和雷诺平均运动方程联立求解, 这就是雷诺应力封闭模式

代数应力模式

在计算中, 导致较大计算量的是雷诺应力的微分项, 该项只是在对流项和扩散项中才有。

如果考虑将对流项和扩散项抵消, 则关于雷诺应力的微分项就不存在, 原方程变为如下代数方程。

$$(1 - C_2)P_{ij} - C_1 \frac{\varepsilon}{k} \left(\overline{v'_i v'_j} - \frac{2}{3} \delta_{ij} k \right) - \frac{2}{3} \delta_{ij} (\varepsilon - C_2 P_k) = 0$$

这种方法局限性太强, 只适用高剪切流场和产生项与耗散项基本相等的局部平衡的湍流场。

考虑雷诺应力 $\overline{v'_i v'_j}$ 和湍动能 k 成正比, 则可得

$$\frac{\overline{u'_i u'_j}}{k} (P_k - \varepsilon) = P_{ij} - \frac{2}{3} \delta_{ij} \varepsilon - C_1 \frac{\varepsilon}{k} \left(\overline{u'_i u'_j} - \frac{2}{3} \delta_{ij} k \right) - C_2 \left(P_{ij} - \frac{2}{3} \delta_{ij} P_k \right).$$

二方程模式

采用布森涅斯克涡粘性系数的思路, 建立如下关系式

$$-\overline{v'_i v'_j} = \nu_i \left(\frac{\partial \overline{v}_i}{\partial x} + \frac{\partial \overline{v}_j}{\partial x_i} \right) - \frac{2}{3} \delta_{ij} k \quad (6)$$

其中涡粘性系数 ν_i 用湍动能 k 和湍流耗散率 ε 表示

$$\nu_i = C_\mu \frac{k^2}{\varepsilon}$$

其中 $C_\mu = 0.09$ 我们只要利用上述两个方程就可以建立雷诺封闭方程, 可适用多种不同类型的流场

一方程模式

由于 ε 方程难模化和精度低, 可以在保留 k 方程的基础上舍弃 ε 方程, 将其表示为

$$\varepsilon = \frac{k^{\frac{3}{2}}}{l}$$

l 可视为混合长度, 需根据具体流场情况另外给出, 涡粘性系数可写作

$$\nu_i = C_\mu \sqrt{k} l$$

(6) 式可以改写成

$$-\overline{u'_i u'_j} = C_\mu \sqrt{kl} \left(\frac{\partial \overline{v_i}}{\partial x} + \frac{\partial \overline{v_j}}{\partial x_i} \right) - \frac{2}{3} \delta_{ij} k$$

双尺度模式

双尺度模式是针对原有的 ε 方程 (5) 而做出的改进

$$\frac{D\varepsilon}{Dt} = \frac{\partial}{\partial x_l} \left[\left(C_\varepsilon \frac{k^2}{\varepsilon} + \nu \right) \frac{\partial \varepsilon}{\partial x_l} \right] - C_{\varepsilon 1} \sqrt{\frac{\varepsilon}{\nu}} \overline{v'_i v'_j} \frac{\partial v_i}{\partial x_j} - C_{\varepsilon 2} \sqrt{\frac{\varepsilon}{\nu}} \varepsilon,$$

$$C_\varepsilon = 2.19, C_{\varepsilon 1} = C_{\varepsilon 2} = 18.7(\text{Re})^{-1/2}$$

湍流边界层

湍流边界层结构

湍流边界层可以分为两个区域，一是靠近壁面的近壁区，称为“内区”，受壁面条件的影响，其厚度占总厚度的 10% ~ 20% ;剩下的称为外层，该层内的流动间接受壁面上产生的壁剪切应力的影响。

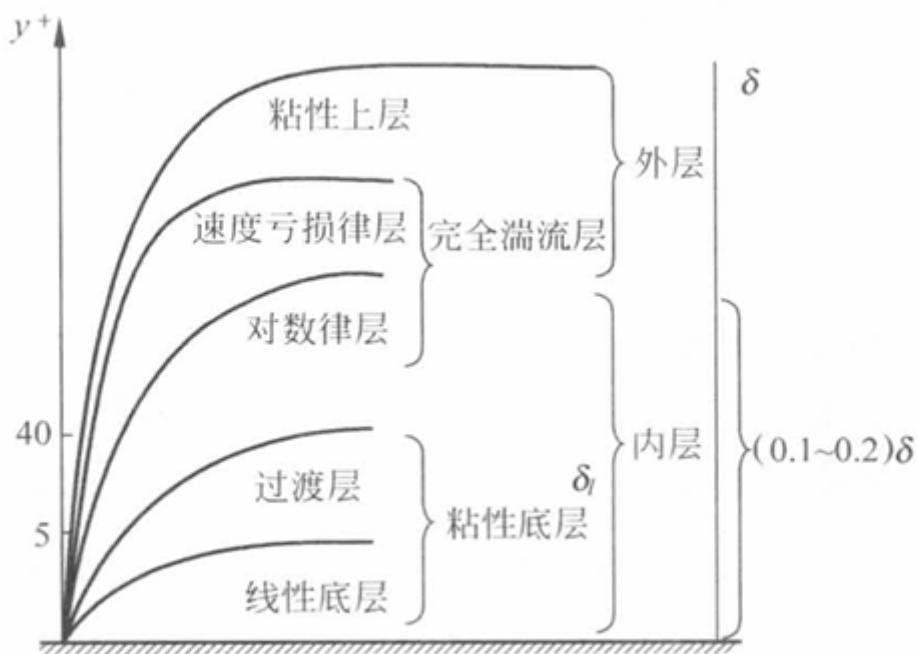


图 8-1 湍流边界层结构

定义壁摩擦系数 v^* 和当地雷诺数 y^+ 以及量纲为 1 的速度 u^+

$$v^* = \sqrt{\frac{\tau_w}{\rho}}, \quad y^+ = \frac{v^* y}{\nu}, \quad u^+ = \frac{\bar{u}}{v^*}$$

- 线性底层 $y^+ < 5$

该层内的粘性应力远大于雷诺应力

$$y^+ = u^+$$

- 过渡层 $5 \leq y^+ \leq 40$

粘性应力与雷诺应力相当，情况复杂

- 对数律层 $y^+ > 40$

雷诺切应力与壁面切应力 τ_w 大致相等且近似为常数，可忽略粘性切应力

$$u^+ = \frac{1}{\kappa} \ln y^+ + C$$

$$C \approx 5.0 \sim 5.2, \kappa \approx 0.4 \sim 0.41$$

- 速度亏损律层

平均运动粘性切应力很小，流场几乎有湍流切应力控制，粘性底层外缘位置上的速度 \bar{u} 低于边界层外缘自由流速度 U ，有量纲分析法可得速度亏损 $U - \bar{u}$ 满足

$$\frac{U - \bar{u}}{v^*} = f_1 \left(\frac{y}{\delta} \right)$$

称为速度亏损律或尾迹律

$$\frac{u^+ \left(\frac{1}{\kappa} \ln y^+ + B \right)}{U^+ - \left(\frac{1}{\kappa} \ln \delta^+ + B \right)} \approx \frac{1}{2} W \left(\frac{y}{\delta} \right)$$

尾迹函数满足

$$W \left(\frac{y}{\delta} \right) = 2 \sin^2 \left(\frac{\pi y}{2\delta} \right)$$

- 粘性上层

该区域湍流边界层与外都自由流间存在粘性起主要作用的区域

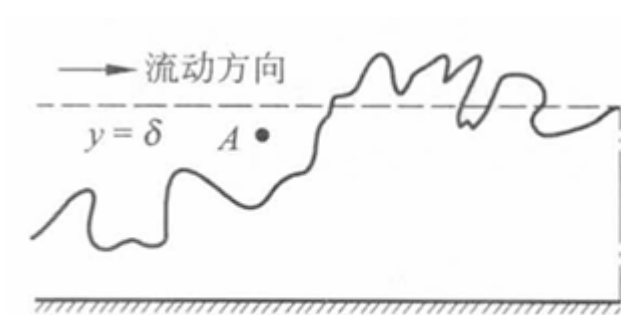


图 8-2 湍流边界层瞬时界面

边界层外缘界面瞬时位置的概率密度符合高斯分布。

二维湍流边界层方程

采用量级分析方法，可得不可压缩二维湍流边界层的运动方程：

$$\bar{u} \frac{\partial \bar{u}}{\partial x} + \bar{v} \frac{\partial \bar{u}}{\partial y} = \frac{1}{\rho} \frac{dP_0}{dx} + \nu \frac{\partial^2 \bar{u}}{\partial y^2} - \frac{\partial \overline{u'v'}}{\partial y}$$

边界条件

$$\begin{aligned} y = 0 : \bar{u} &= 0, \bar{v} = 0, \overline{u'v'} = 0 \\ y \geq \delta : \bar{u} &= U, \frac{\partial \bar{u}}{\partial y} = 0, \overline{u'v'} = 0 \end{aligned}$$

边界层的转捩

边界层流场同样存在层流和湍流两种状态，湍流边界层往往是由层流边界层转变而成的。这个转变称为转捩

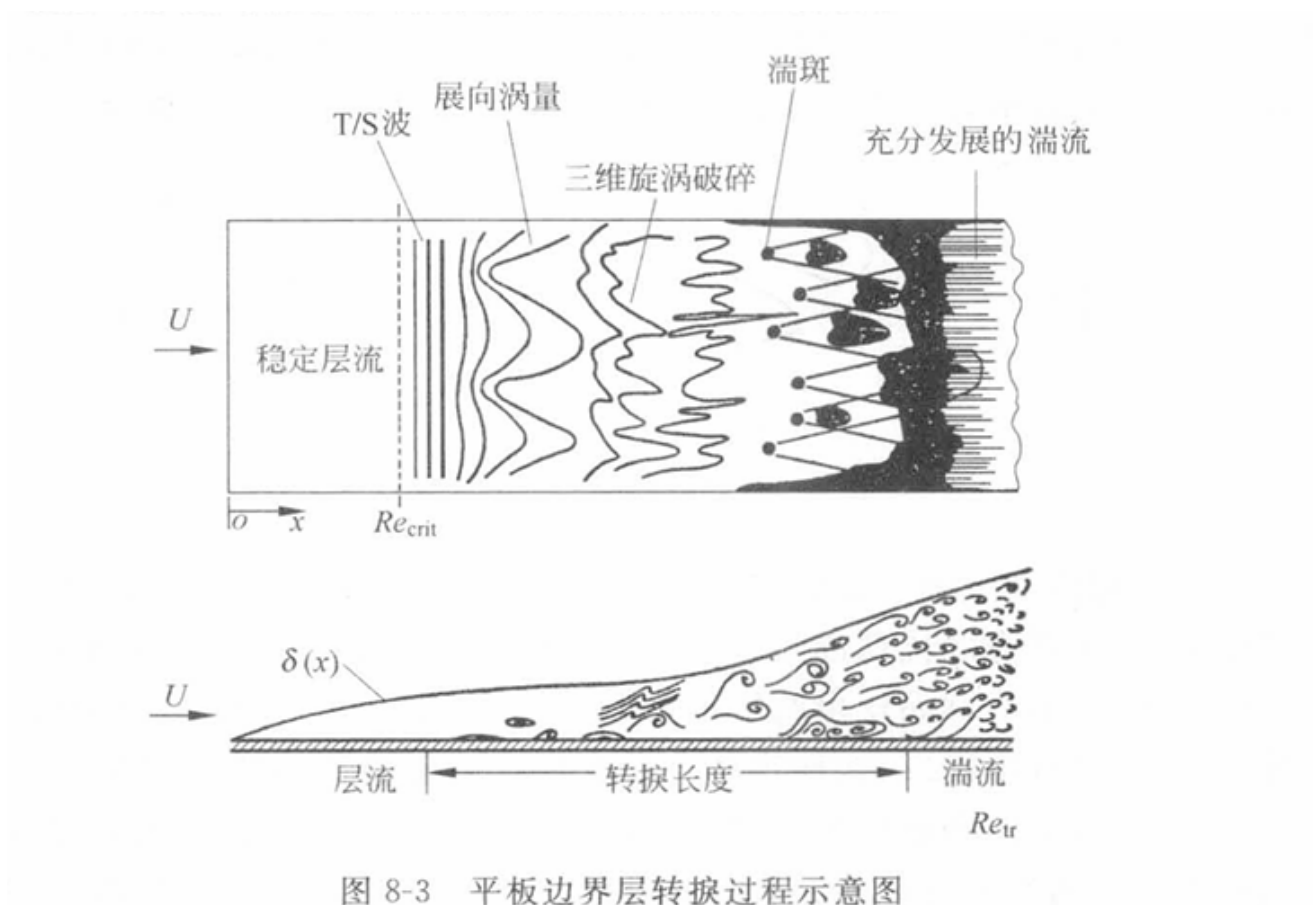


图 8-3 平板边界层转捩过程示意图

转换区的流动沿下游方向经历以下几个阶段

1. 边界层中存在认为或者自然的扰动，扰动发展成类似波浪的二维运动，这种运动在空间或时间上都是周期性的，称为托尔明-许列赫丁（Tollmien-Schlichting）波，简称 T-S 波（T-S 波在自然转换过程不总是可以观察到的）
2. T-S 波的振幅增大到某极限值，二维波变为三维并形成漩涡，三维波的振幅布顿啊改变，他们和主流相互作用，使得速度剖面也具有三维的性质

3. 随着三维波的继续增长，在局部区域内瞬间产生了非常高的剪切区即涡旋区，在这些地方发生了湍流的猝发现象。
4. 在脉动速度大的地方形成了一小块一小块称之为湍流斑的湍流区。湍流斑的形状是不规则的，随机出现在不同时刻不同位置。斑内的流动类似于完全发展的湍流边界层
5. 湍流斑扩大到相当大的时候，他们相互交错没有留下层流的空隙，层流过渡到完全湍流，转捩区结束

定义转换雷诺数 Re_{tr}

湍流度：

$$\varepsilon = \frac{1}{U} \sqrt{\frac{1}{3}(\overline{u'^2} + \overline{v'^2} + \overline{w'^2})}$$

u', v', w' 分别代表来流中扰动速度的三个分量。湍流度可理解为扰动速度的均方根与来流平均速度的比值，用以衡量脉动的大小。

当外流湍流度不超过 0.1% 时，层流和湍流区的边界与湍流都无关，转捩区从 $Re_x = 3 \times 10^6$ 开始到 $Re_x = 4 \times 10^6$

壁面粗糙度高会引起转捩的提前，壁面冷却、加大顺压梯度和壁面吸流能起推迟边界层转捩的作用。

湍流位置的预测

1. e^9 方法：当小扰动放大到原来的 e^9 倍时认为发生了转捩。误差大，且无法反映自由流湍流度和其他复杂因素对转捩的影响
2. 湍流模式：建立适用转捩区的低 Re 数的湍流模式，但是方法复杂
3. 修正的米歇尔方法： $Re_{\theta_{tr}}$ 为发生转捩时的动量损失厚度雷诺数； $Re_{x_{tr}}$ 为以坐标为特征长度的雷诺数

$$Re_{\theta_{tr}} = 1.174 \left[1 + \frac{22400}{Re_{x_{tr}}} \right] Re_{x_{tr}}^{0.46}$$

二维边界层运动

碎碎念

真的很啰嗦，感觉很没有必要（
而且很乱（公式各种引用）

湍流尾流

湍流尾流场特征：

1. 主流速度大, x 方向的变化小于 y 方向的变化
2. 主流速度剖面存在自相似性
3. y 方向的压力变化与脉动有关
4. x 方向的压力变化与外流有关
5. 雷诺应力远大于粘性应力

x 方向的运动方程

$$\begin{aligned}
 U_{\infty} \frac{\partial U}{\partial x} &= -\frac{\partial}{\partial y} \overline{u'v'} \\
 \Rightarrow \frac{\partial}{\partial x} \left(\frac{U}{U_{\infty}} \right) &= \frac{\partial}{\partial y} \left(-\frac{\overline{u'v'}}{U_{\infty}^2} \right) \\
 \text{尾部雷诺应力为零} \Rightarrow P \frac{d}{dx} \int_{-\infty}^{\infty} \left(\frac{U}{U_{\infty}} \right) dy &= -\frac{\overline{u'v'}}{U_{\infty}^2} \Big|_{-\infty}^{+\infty} = 0
 \end{aligned}$$

由上述可以推出

$$\int_{-\infty}^{+\infty} \frac{U}{U_{\infty}} dy = C$$

y 方向方程

$$\frac{\partial P}{\partial y} + \rho \frac{\partial}{\partial y} \overline{v'^2} = 0$$

积分可得

$$\begin{aligned}
 P + \rho \overline{v'^2} &= P_0 \\
 \frac{dP_0}{dx} \approx 0 \Rightarrow \frac{1}{\rho} \frac{\partial P}{\partial x} &= \frac{\partial}{\partial x} \overline{v'^2}
 \end{aligned}$$

尾流区 U 存在相似性

$$\begin{aligned}
 \xi_1 &= \frac{x+a}{d} \quad \xi_2 = \frac{y}{D} \sqrt{\frac{D}{x+a}} = \frac{y}{\sqrt{D(x+a)}} \\
 \frac{U}{U_{\max}} &= f(\xi_2) \quad \frac{U_{\max}}{U_{\infty}} = g(\xi_1)
 \end{aligned}$$

D 为阻力

尾流平均速度分布规律满足

$$\frac{U}{U_{\max}} = \exp \left(-\frac{U_{\infty} d}{2} \int_0^{\xi_2} \frac{\xi_2}{\varepsilon_m} d\xi_2 \right)$$

ε_m 为涡粘性系数

平板湍流边界层

壁面摩擦系数

$$C_f = \frac{2\tau_w}{\rho U^2} = 2 \frac{d\theta}{dx} = 2 \frac{d \operatorname{Re}_\theta}{d \operatorname{Re}_x}$$

为了使上式封闭求解，补充关系 $C_f = C_f(\theta)$ ，的积分关系

$$\operatorname{Re}_x = 2 \int_0^{\operatorname{Re}_\theta} \frac{d \operatorname{Re}_\theta}{C_f(\operatorname{Re}_\theta)}$$

尾迹律表面摩擦关系式：

$$\lambda = \frac{1}{\kappa} \ln \left(\frac{\operatorname{Re}_\delta}{\lambda} \right) + B + 2 \frac{\Pi}{\kappa}$$

其中 $\frac{2\Pi}{\kappa} = U^+ - (\frac{1}{\kappa} \ln \delta^+ + B)$, $\lambda = \sqrt{\frac{2}{C_f}}$, $\operatorname{Re}_\theta = U \frac{\delta}{\nu}$ (同样的, B 与 κ 为常数)

列出雷诺数

$$\begin{aligned} \operatorname{Re}_\delta &= \lambda e^{\kappa\lambda - \kappa\beta - 2\Pi} \\ \operatorname{Re}_{\delta^*} &= \frac{1 + \Pi}{\kappa\lambda} \operatorname{Re}_\delta \\ \operatorname{Re}_\theta &= \left(\frac{1 + \Pi}{\kappa\lambda} - \frac{2 + 3.179\Pi + 1.5\Pi^2}{\kappa^2\lambda^2} \right) \operatorname{Re}_\delta \end{aligned}$$

拟合关系 ($\kappa = 0.4, B = 5.5, \Pi = 0.5$)

$$C_f = 0.026 \operatorname{Re}_x^{-1/7} \quad \operatorname{Re}_\delta = 0.14 \operatorname{Re}_x^{6/7} \quad \operatorname{Re}_{\delta^*} = 0.018 \operatorname{Re}_x^{6/7}$$

阻力系数

$$C_d = \frac{2D}{\rho U_\infty^2 L} = 0.0303 \operatorname{Re}_L^{-1/7}$$

普朗特和施利希廷公式：

$$C_d = \frac{0.455}{(\lg \operatorname{Re}_L)^{2.58}}$$

卡门，施恩尔公式

$$\sqrt{C_d} \lg \operatorname{Re}_L(C_d) = 0.242$$

边界层的分离

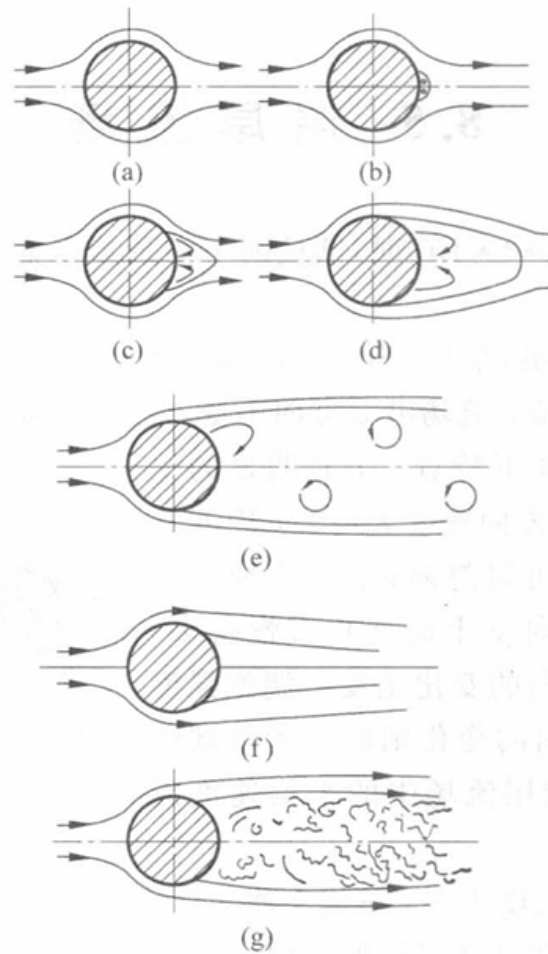


图 8-17 不同 Re 数下的圆柱绕流

$Re = \frac{U_\infty d}{\nu}$ 数决定了圆柱绕流的流动特征。当 $Re \leq 1$ 使粘性力占主导力，圆柱上下流线对称，随着 Re 数的增加，圆柱背面出现了较弱的对称漩涡，且对称涡的强度随着 Re 数增加而增加。当 $Re > 40$ 后，对称的漩涡破裂，在 $Re \approx 60$ 圆柱背面出现了稳定、非对称、旋转方向相反、周期性交替脱离柱面的漩涡，这些涡在下流形成了整齐的我咧，出现卡门涡街。当 $Re > 150$ 时，卡门涡街开始变得不稳定。当 $Re > 300$ 涡街已不存在。

定义阻力系数 $C_D = 2 \frac{D}{\rho U_\infty^2 d}$ ，关系满足：

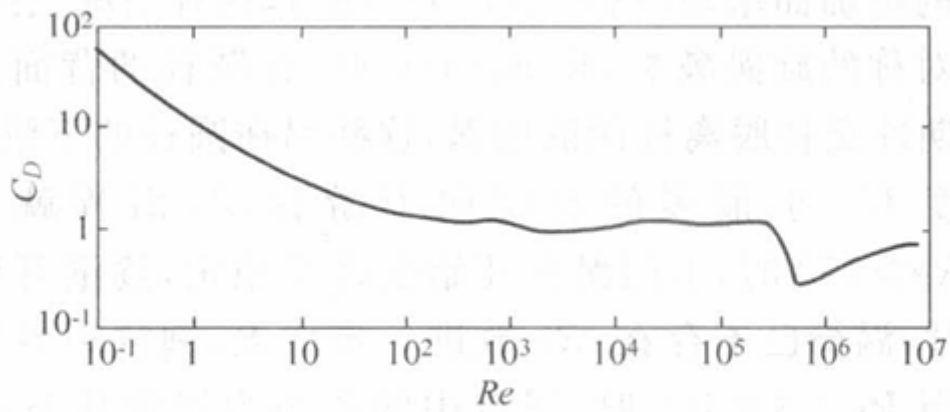


图 8-18 不同 Re 数下圆柱绕流的阻力系数

湍流边界层的分离往往不是发生在一个固定点，而是一个非定常脉动过程。这种脉动性主要是由涡的周期性与非周期性脱落造成的，定义间歇因子 γ

$$\gamma_d = \lim_{T \rightarrow \infty} \frac{1}{T} \int_{t_0}^{t_0+T} \alpha \, dt; \quad \alpha = \begin{cases} 0, & \text{流体倒流} \\ 1, & \text{流体顺流} \end{cases}$$

γ_d 表示流体顺流所占时间和总时间的百分比，通过 γ_d 大小可以知道某处分离情况。